

МЕТОД АНАЛИЗА НЕОДНОРОДНОСТЕЙ В ПОЛОСКОВО-ЩЕЛЕВЫХ СТРУКТУРАХ. ЧАСТЬ 1: АНАЛИЗ СКАЧКА ШИРИНЫ В МИКРОПОЛОСКОВОЙ ЛИНИИ МЕТОДОМ ПОПЕРЕЧНОГО РЕЗОНАНСА

Введение

Существующие методики расчета скачка ширины в полосковой линии передачи разрабатывались достаточно давно, в 80-е годы прошлого столетия. Помимо традиционного метода согласования мод исследователи использовали различные приближенные методики анализа такой неоднородности [1 - 5]. Для классической ступенчатой неоднородности метод согласования мод с использованием формализма обобщенных матриц рассеяния обеспечивает требуемую при проектировании фильтрующих устройств точность расчета. Однако в современных планарных микроволновых схемах используются элементы вида *defected ground plane*, то есть отверстия различной формы в металлизированной подложке. В этих случаях метод согласования мод уже не применим, поскольку такие неоднородности не описываются в рамках плоско-поперечных стыков. Нами в [6, 7] была предложена техника анализа скачка ширины в микрополосковой линии передачи методом поперечного резонанса, в которой для алгебраизации краевой задачи использовалось разложение электромагнитного поля в плоскости микрополосковой линии передачи (в области между линией передачи и экраном) по базисным функциям волновода сложного сечения (П- или Г-образного, в зависимости от граничных условий). Несмотря на высокую точность расчета, недостатком этого алгоритма является зависимость решения для спектра собственных частот резонатора с неоднородностью от частоты и числа учитываемых Н- и Е-волн в окне связи на границе раздела сред. Чем ниже частота – тем большее число волн требовалось учесть, чтобы получить гладкую кривую для спектра собственных частот резонатора.

Целью данного исследования является усовершенствование методики анализа скачка ширины в микрополосковой линии передачи конечной длины методом поперечного резонанса. Предлагаемый способ алгебраизации краевой задачи на собственные частоты резонатора основан на выражении плотности тока в неоднородной полосковой линии передачи через векторные потенциалы, которые определяются в терминах собственных функций волноводов сложного сечения с прямоугольными координатными границами. В перспективе, такая техника алгебраизации позволяет расширить круг решаемых задач до трехмерных планарных структур со щелевыми неоднородностями в заземляющей плоскости.

Постановка и решение краевых задач методом поперечного резонанса

Рассмотрим для начала обычный скачок ширины в микрополосковой линии передачи с w_1 на w_2 , рис. 1 (вид сверху и поперечное сечение двухслойной планарной структуры). Первый слой представляет собой диэлектрическую подложку высотой h с относительной диэлектрической проницаемостью ϵ_r , второй слой имеет воздушное заполнение ($\epsilon_{r2} = 1$). Согласно методу поперечного резонанса, анализируемая структура с неоднородностью помещается в резонатор с идеальными электрическими (e.w.) или магнитными (m.w.) стенками по продольной оси z .

В качестве примера, рассмотрим алгоритм анализа спектра собственных частот «электрической» краевой задачи. Решение уравнения Гельмгольца для векторных потенциалов «электрической» краевой задачи в каждой двух из частичных областей $i=1,2$ (рис. 1) записывается в виде двойных рядов Фурье:

$$\begin{aligned}
 A_{ey,i} &= \sum_{m=1} \sum_{n=1} P_{mn} \cos k_{xm} x \sin k_{zn} z F_{ei,mn}(y) = \sum_{m=1} \sum_{n=1} \Phi_{mn}(x,z) F_{ei,mn}(y), \\
 A_{hy,i} &= \sum_{m=1} \sum_{n=0} P_{mn} \sin k_{xm} x \cos k_{zn} z F_{hi,mn}(y) = \sum_{m=1} \sum_{n=0} \Psi_{mn}(x,z) F_{hi,mn}(y),
 \end{aligned}
 \tag{1}$$

где $k_{xm} = \pi(2m-1)/2A$, $k_{zn} = \pi n/L$ и

$$P_{mn} = \sqrt{\frac{2}{A}} \sqrt{\frac{2 - \delta_{n0}}{L}} \frac{1}{\chi_{mn}}, \quad \chi_{mn}^2 = k_{xm}^2 + k_{zn}^2,$$

$i=1,2$ – номер частичной области.

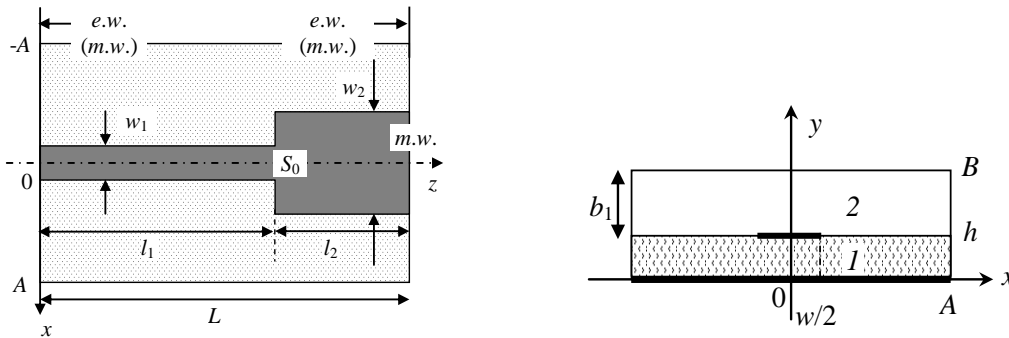


Рис. 1. Топология резонатора с неоднородностью для решения краевой задачи вида e.w.-e.w. или m.w.-m.w.

Функции $F_{e(h)i,mn}(y)$ с неизвестными коэффициентами разложения имеют вид [6]:

$$\begin{aligned}
 F_{e1,mn}(y) &= R_{1mn} \frac{\cos k_{y1mn} y}{\sin k_{y1mn} h} \frac{1}{k_{y1mn}}, \quad F_{e2,mn}(y) = R_{2mn} \frac{\cos k_{y2mn} (B-y)}{\sin k_{y2mn} b_1} \frac{1}{k_{y2mn}}, \\
 F_{h1,mn}(y) &= T_{1mn} \frac{\sin k_{y1mn} y}{\sin k_{y1mn} h}, \quad F_{h2,mn}(y) = T_{2mn} \frac{\sin k_{y2mn} (B-y)}{\sin k_{y2mn} b_1},
 \end{aligned}$$

где $k_{yi,mn}^2 = k_0^2 \varepsilon_{ri} - k_{xm}^2 - k_{zn}^2$ и $R_{e1(2),mn}$, $R_{h1(2)mn}$ – неизвестные коэффициенты разложения в двойные ряды Фурье. Термины «электрическая» и «магнитная» краевые задачи соответствуют граничным условиям на продольных границах резонатора по оси z . Компоненты электромагнитного поля в плоскости (x,z) рассчитываются через векторные потенциалы по формулам:

$$\begin{aligned}
 E_{t,i} &= \sum_{m=1} \sum_{n=0} [\nabla \Psi_{mn}(x,z) \times e_y] F_{hi,mn}(y) + \frac{1}{jk_0 \varepsilon_{ri}} \sum_{m=1} \sum_{n=1} \nabla \Phi_{mn}(x,z) \frac{d}{dy} F_{ei,mn}(y), \\
 H_{t,i} &= \sum_{m=1} \sum_{n=1} [\nabla \Phi_{mn}(x,z) \times e_y] F_{ei,mn}(y) - \frac{1}{jk_0} \sum_{m=1} \sum_{n=0} \nabla \Psi_{mn}(x,z) \frac{d}{dy} F_{hi,mn}(y).
 \end{aligned}$$

В отличие от [6, 7], в данной работе для алгебраизации краевой задачи плотности токов в неоднородной полосковой линии S_0 в плоскости $y=h$ описывается в терминах электрического $J_{e,n}(x,z)$ и магнитного $J_{h,n}(x,z)$ векторных потенциалов ($k_0 = \omega/c$):

$$\begin{aligned}
 J_z &= \sum_{n=1} \frac{d}{dx} J_{e,n}(x,z) \cdot C_{e,n} - \frac{1}{j \cdot k_0} \sum_{n=1} \frac{d}{dz} J_{h,n}(x,z) C_{h,n}, \\
 J_x &= - \sum_{n=1} \frac{d}{dz} J_{e,n}(x,z) \cdot C_{e,n} - \frac{1}{j \cdot k_0} \sum_{n=1} \frac{d}{dx} J_{h,n}(x,z) C_{h,n},
 \end{aligned}
 \tag{2}$$

где $C_{e(h),n}$ – неизвестные коэффициенты разложения, а функции $J_{e(h),n}(x, z)$ удовлетворяют уравнению Гельмгольца:

$$\Delta_{\perp} J_{e(h),n}(x, z) + \chi_{e(h)q}^2 J_{e(h),n}(x, z) = 0, \quad (3)$$

$\chi_{e(h)q}^2$ – собственные числа двумерной краевой задачи для векторных потенциалов плотности токов, и граничным условиям на открытых границах полосковой линии $x = \pm w_{1(2)}/2$:

$$\left. \frac{dJ_h(x, z)}{dn} \right|_S = 0, \quad J_e(x, z)|_S = 0.$$

На продольных границах $z = 0$ и $z = L$ граничные условия соответствуют условиям краевой задачи для объемного резонатора. Нормировка базисных функций имеет вид, традиционный для волноводных краевых задач:

$$\int_{S_{MSL}} [\nabla J_{e(h),n}(x, z)]^2 dS = \chi_{e(h),n}^2 \int_{S_{MSL}} J_{e(h),n}^2(x, z) dS = 1.$$

Использование разложения (2) для описания плотности токов позволяет получить хорошую сходимость тригонометрических рядов, с помощью которых записываются векторные потенциалы $J_{e(h),n}(x, z)$. При решении задачи на собственные функции и собственные значения для области с прямоугольными координатными границами методом частичных областей внутренние суммы в рядах сходятся как $O(n^{-3})$. Пример решения краевой задачи для векторных потенциалов плотности тока для случая «электрической» задачи приведен в Приложении.

Из условий непрерывности поля на границе раздела сред в плоскости $y = h$ с учетом (2) получается система из двух матричных уравнений относительно неизвестных коэффициентов разложения $C_{e(h),n}$:

$$\begin{aligned} & - \sum_{l=1} C_{h,l} \sum_{m=1} \sum_{n=0} \left(\alpha_{h,q,mn}^m \alpha_{h,l,mn}^m \frac{1}{F_{h,mn}} + \frac{1}{k_0^2 \epsilon_r} \frac{1}{F_{e,mn}} \beta_{h,q,mn}^m \beta_{h,q,mn}^m \right) + \\ & + jk_0 \sum_{l=1} C_{e,l} \sum_{m=1} \sum_{n=0} \alpha_{h,q,mn}^m \gamma_{h,l,mn}^m \frac{1}{F_{h,mn}} = 0, \\ & - \sum_{l=1} C_{h,l} \sum_{m=1} \sum_{n=0} \gamma_{h,q,mn}^m \alpha_{h,l,mn}^m \frac{1}{F_{h,mn}} + jk_0 \sum_{l=1} C_{e,l} \sum_{m=1} \sum_{n=0} \gamma_{h,q,mn}^m \gamma_{h,l,mn}^m \frac{1}{F_{h,mn}} = 0. \end{aligned}$$

Интегралы связи в системе имеют вид (здесь интегрирование выполняется по площади, занимаемой неоднородной полосковой линией):

$$\begin{aligned} \alpha_{h,q,mn}^m &= \int_{S_{MSL}} \nabla J_{h,q}(x, z) [\nabla \psi_{mn}(x, z) \times e_y] dS, \\ \beta_{h,q,mn}^m &= \int_{S_{MSL}} \nabla J_{h,q}(x, z) \nabla \phi_{mn}(x, z) dS, \\ \gamma_{h,q,mn}^m &= \int_{S_{MSL}} [\nabla J_{e,q}(x, z) \times e_y] \cdot [\nabla \psi_{mn}(x, z) \times e_y] dS = \int_{S_{MSL}} \nabla J_{e,q}(x, z) \cdot \nabla \psi_{mn}(x, z) dS, \end{aligned}$$

и

$$F_{e,mn} = \frac{\text{ctg}k_{y1mn}h}{k_{y1mn}} + \frac{1}{\varepsilon_r} \frac{\text{ctg}k_{y2mn}b_1}{k_{y2mn}}, \quad F_{h,mn} = k_{y1l} \text{ctg}k_{y1l}h + k_{y2l} \text{ctg}k_{y2l}b_1.$$

При выводе системы линейных алгебраических уравнений учтено равенство нулю интеграла:

$$\delta_{h,q,mn}^m = \int_{S_{MSL}} [\nabla J_{e,q}(x,z) \times e_y] \nabla \varphi_{mn}(x,z) dS = 0.$$

Аналогичным образом строится алгоритм решения «магнитной» краевой задачи, а также (при необходимости) и «гибридных» задач с условиями *m.w.-e.w.* либо *e.w.-m.w.* на продольных границах [8].

Согласно методу поперечного резонанса [9], элементы матрицы рассеяния на симметричной неоднородности (когда один из размеров, l_1 или l_2 , фиксируется) рассчитываются из решений двух краевых задач с граничными условиями на продольной границе вида *e.w.-e.w.* и *m.w.-m.w.* для резонатора относительно его изменяемого размера $l_{i,1(2)}$ (рис. 1) по формулам:

$$S_{11} = (\Gamma_2 - \Gamma_1)/2, \quad S_{12} = (\Gamma_1 + \Gamma_2)/2, \quad (4)$$

где $\Gamma_{1(2)} = \exp(2j\beta_z l_{i,1(2)})$, β_z – постоянная распространения основной волны в регулярной микрополосковой линии передачи. Таким способом рассчитывается матрица рассеяния на отрезке микрополосковой линии передачи, индуктивном (узком) или емкостном (широком) в зависимости от того, какой из размеров, l_1 или l_2 , фиксируется, рис. 2. Минимум коэффициента отражения (резонансное пропускание) определяется точками пересечения спектральных кривых, полученных из решения обеих краевых задач.

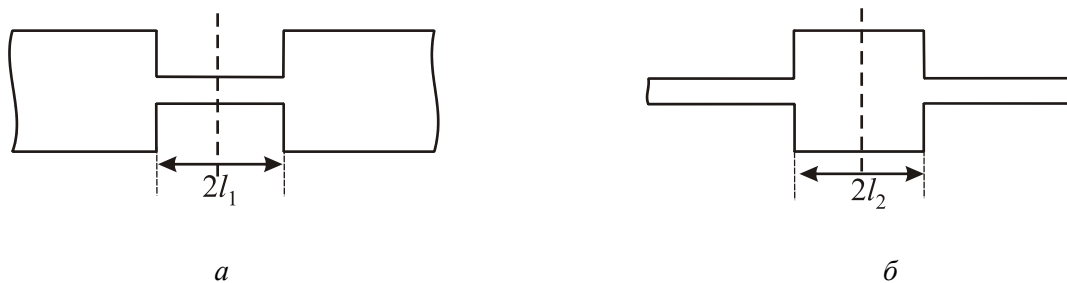


Рис.2. Индуктивная (а) и емкостная (б) неоднородности в микрополосковой линии передачи

Особенности реализации численных алгоритмов и результаты численных расчетов

Анализ неоднородностей выполнен для материала подложки Ro3010 толщиной $h=0.635$ мм с диэлектрической проницаемостью $\varepsilon_r=10.2$. В численных расчетах суммирование в двойных рядах Фурье (1) было ограничено до 600 членов ряда, в выражениях для векторных потенциалов плотности тока учитывали по две ($N_m = 2$) собственные функции $J_{h,n}, J_{e,n}, n = 1..N_m$. Рассматриваемый диапазон частот, доступный нам для измерений – $1.0 \div 6.0$ ГГц. Преимущество алгоритма, в отличие от ранее разработанного [6], состоит в том, что во всем частотном диапазоне учитывается одинаковое число типов волн $N_m = 2$ в разложениях векторных потенциалов плотности тока в полосковой линии.

Рассмотрим сначала результаты расчетов характеристик рассеяния на скачках ширины в микрополосковой линии передачи конечной длины, т.е. на индуктивной и емкостной неоднородностях в микрополосковой линии передачи (рис. 2, а, б). Для определенности, длины ступенчатых неоднородностей примем $\lambda/16$ на центральной частоте 3.0 ГГц. Особенностью алгоритма является достаточно хорошо локализованные и быстро рассчитываемые собственные числа χ_h для магнитного векторного потенциала $J_{h,n}$ (шаг итерации для поиска корня уравнения равен $t=10^{-3}$ мм⁻¹) и сложно определяемые корни χ_e для векторного потенциала $J_{e,n}$ ($t=10^{-6}-10^{-7}$ мм⁻¹). Зависимости первых двух корней уравнения для определения собственных чисел двумерных функций плотности тока (см. Приложение) для электрической и магнитной краевых задач приведены на рис. 3, а, б. Начальная точка поиска корней уравнения для собственных чисел χ_h для электрической краевой задачи равна $2\pi/3L_s$, а для собственных чисел $\chi_e - 2\pi/w_2$. На рис. 3, в приведены спектры собственных частот резонатора с индуктивной неоднородностью в микрополосковой линии, полученные из решения электрической и магнитной краевых задач. Размеры структуры (мм): $w_1=0.24$, $w_2=1.16$, длина индуктивного отрезка $2 \cdot l_1=2.4$. Размеры экрана приняты равными $A=10.0$, $B=8.635$. Точка пересечения спектральных кривых показывает резонансный минимум коэффициента отражения на характеристике.

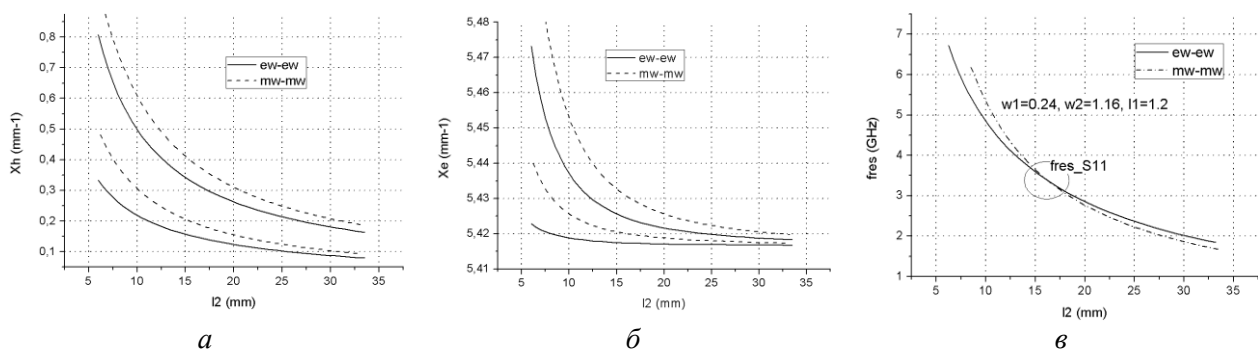


Рис. 3. а – собственные числа для магнитного векторного потенциала J_h ; б – собственные числа для электрического векторного потенциала J_e , описывающего плотность поверхностных токов в неоднородной линии передачи; в – спектр собственных частот, полученный из решения краевых задач для индуктивной неоднородности в микрополосковой линии

Для расчета матрицы рассеяния на неоднородности необходимо решать обратные краевые задачи, то есть рассчитывать размер резонатора l_2 на каждой заданной частоте f , что требует больших затрат машинного времени, поскольку на каждом шаге надо считать интегралы связи $\alpha_{h,q,mn}^m$, $\beta_{h,q,mn}^m$, $\gamma_{h,q,mn}^m$. Поэтому, как и в [6], для численного расчета элементов матрицы рассеяния методом поперечного резонанса по формулам (4) была использована

аппроксимация спектральных кривых полиномами 7-го порядка. На рис. 4 представлены характеристики коэффициентов отражения и передачи основной волны микрополосковой линии на индуктивных (рис. 2, а) неоднородностях для трех разных значений отношения w_2/w_1 . Основная линия передачи имеет ширину $w_2=2.62$ мм, а длины индуктивных отрезков равны $\lambda/16$ (отрезки такой длины используются для проектирования укороченных переходов и фильтров).

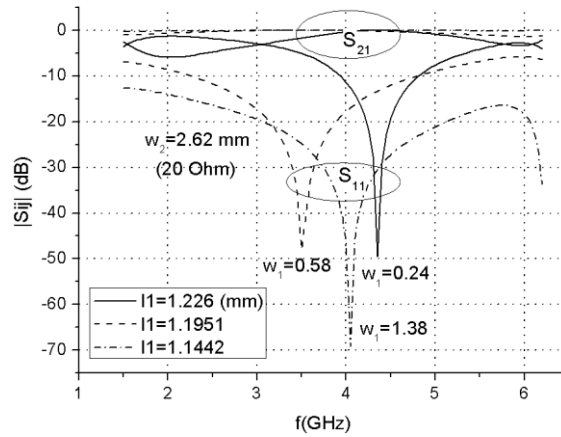


Рис. 4. Характеристики рассеяния на индуктивной неоднородности в микрополосковой линии передачи

Далее рассмотрим результаты расчетов характеристик рассеяния на емкостной неоднородности в микрополосковой линии передачи (рис. 2, б). В этом случае при решении краевой задачи фиксируется размер l_2 , и ищутся корни уравнения для собственных частот резонатора в зависимости от расстояния до неоднородности l_1 (рис. 1). Кривые зависимости собственных чисел векторных потенциалов для плотности тока в неоднородной полосковой линии показаны на рис. 5, а, б (первые два корня трансцендентного уравнения для собственных чисел электрического и магнитного векторных потенциалов). Расчеты выполнены для скачка ширины полосковой линии с $w_1=0.58$ на $w_2=2.42$ мм ($l_2=1.0$). Видно, что в этом случае собственные числа χ_e , получаемые из решения краевой задачи для электрического векторного потенциала $J_{e,n}$, остаются практически постоянными (рис. 5, б).

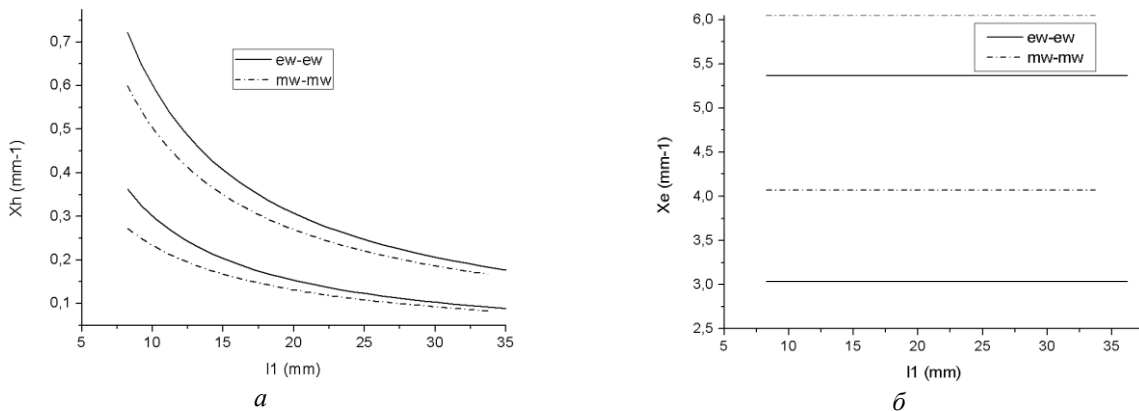


Рис. 5. а – собственные числа векторных потенциалов J_n ; б – собственные числа векторных потенциалов J_e , описывающих плотность поверхностных токов в неоднородной полосковой линии передачи для емкостной неоднородности в микрополосковой линии

На рис. 6, а показан спектр собственных частот, полученных из решения электрической и магнитных краевых задач, в зависимости от отношения ширины полосковых линий w_2/w_1 при фиксированной ширине $w_1=0.58$ мм и $l_2=1.0$ мм (длина отрезка $l=2l_1=2.0$ мм соответствует длине $\lambda/16$ на частоте 3.0 ГГц), а на рис. 6, б – полученные из него методом поперечного резонанса характеристики коэффициентов отражения и пропускания на емкостной неоднородности в микрополосковой линии передачи. Видно, что характеристика рассеяния на

емкостной неоднородности в микрополосковой линии передачи в широком диапазоне частот (от 1.5 до 6 ГГц) – гладкая, и не содержит точек резонансного отражения или пропускания.

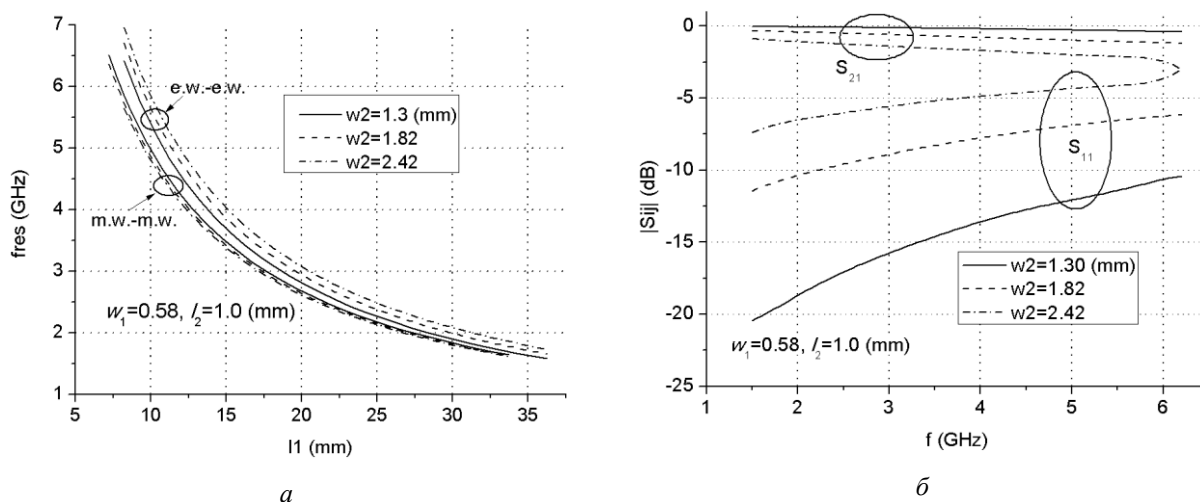


Рис. 6. *a* – спектр собственных частот, полученный из решения краевых задач для емкостной неоднородности в микрополосковой линии передачи; *б* – частотные зависимости коэффициентов отражения и передачи на емкостной неоднородности в зависимости ширины «емкостного» отрезка линии передачи длиной $2 \cdot l_2 = 2.0$ мм

Заключение

Таким образом, усовершенствованы алгоритмы для анализа неоднородностей в виде скачка ширины в микрополосковой линии передачи конечной длины (индуктивной или емкостной неоднородностей) методом поперечного резонанса. При этом для алгебраизации краевой задачи использованы выражения для плотности тока в неоднородной полосковой линии через магнитный и электрический векторные потенциалы. Векторные потенциалы, в свою очередь, представляют собой волноводные функции (ортогональный базис), которые получаются из решения двумерной краевой задачи на собственные функции и собственные значения в области, занимаемой нерегулярной полосковой линией. Преимущество предложенной методики состоит в том, что порядок усечения рядов по собственным функциям (векторным потенциалам) остается постоянным при анализе неоднородности в широком диапазоне частот. Алгоритмы хорошо сходятся и для обеспечения точности расчета резонансных частот порядка 10^{-2} (ГГц), достаточно учесть две-три собственные функции в разложениях электрического и магнитного векторных потенциалов плотности тока.

Список литературы: 1. *Farrar, A., Adams, A. T.* Matrix Methods for Microstrip Three-Dimensional Problem // IEEE Trans. on Microw. Theory and Techn. – 1972. – Vol. 20, No 8. – P. 497-504. 2. *Railton, C.J., Rozzi, T.* The Rigorous Analysis of Cascade'd Step Discontinuities in Microstrip // IEEE Trans. on Microw. Theory and Techn. – 1988. – Vol. 36, No 7. – P. 1177 – 1184. 3. *Koster, N. H. L., Jansen, R. H.* The Microstrip Step Discontinuity: A Revised Description // IEEE Trans. on Microw. Theory and Techn. – 1986. – Vol. 34, No. 2. – P. 213-222. 4. *Chu, S., Itoh, T.* Analysis of Microstrip Step Discontinuity by the Modified Residue Calculus Technique // IEEE Trans. on Microw. Theory and Techn. – 1985. – Vol. 33, No 10. – P. 1024-1028. 5. *Chen, Y., Beker, B.* Study of Microstrip Step Discontinuities on Bianisotropic Substrates Using the Method of Lines and Transverse Resonance Technique // IEEE Trans. on Microw. Theory and Techn. – 1994. – Vol. 42, No. 10. – P. 1945-1950. 6. *Rassokhina, Yu. V., Krizhanovski, V. G.* Microstrip Line Transformator Design by Transverse Resonance Technique // Proc. of MIKON 2014, 20th International Conference on Microwaves, Radar and Wireless Communications, June 16-18, Gdansk, Poland. – P. 206-208. 7. *Крыжановский, В.Г., Рассохина, Ю.В.* Анализ неоднородности в виде скачка ширины микрополосковой линии методом поперечного резонанса // 23-я междунар. Крым. конф. "СВЧ-техника и телекоммуникационные технологии". Севастополь, 9-13 сентября 2013 г. : материалы

конференции. – Севастополь : Вебер, 2013. – Т.2. – С. 661-662. 8. *Рассохина, Ю.В., Крыжановский, В.Г.* Режекторный фильтр на H-образном щелевом резонаторе в экранирующем слое микрополосковой линии // Радиотехника. – 2015. – Вып. 182. – С. 129—136. 9. *Itoh, T.* (Ed). Numerical techniques for microwave and millimeter-wave passive structures New York: Wiley, 1989. – 707 p.

Приложение

Решение краевых задач для векторных потенциалов плотности тока в неоднородной полосковой линии для «электрической» краевой задачи.

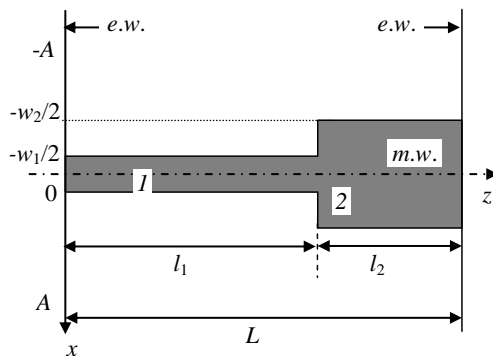


Рис. П1. Топология неоднородной в полосковой линии и разбиение ее на частичные области для решения краевых задач для векторного и магнитного потенциала

Функция магнитного векторного потенциала удовлетворяет волновому уравнению

$$\Delta J_{h,q}(x, z) + \chi_{h,q}^2 J_{h,q}(x, z) = 0,$$

и условиям на свободных и продольных границах области:

$$\frac{dJ_{hi}(\pm w_i/2, z)}{dx} = 0, i = 1, 2, \quad \frac{dJ_{hi}(0, z)}{dx} = 0, i = 1, 2, \quad J_{h1}(x, 0) = 0, \quad J_{h2}(x, L) = 0.$$

Удобно использовать нормировку базисных функций вида:

$$\chi_{h,q}^2 \int_{S_{MSL}} J_{h,q}^2(x, z) dS = 1.$$

Решение для функции $J_{h,q}(x, z)$ в частичных областях записывается в виде разложений в ряды Фурье с неизвестными коэффициентами $A_{1(2)k}$:

$$J_{h1}(x, z) = \sum_{k=0} A_{1k} \sqrt{\frac{2 - \delta_{k0}}{w_1/2}} \cos \frac{2\pi k}{w_1} x \frac{\sin k_{z1k} z}{k_{z1k} \cos k_{z1k} l_1}, \quad |x| \leq w_1/2, \quad 0 \leq z \leq l_1.$$

$$J_{h2}(x, z) = \sum_{k=0} A_{2k} \sqrt{\frac{2 - \delta_{k0}}{w_2/2}} \cos \frac{2\pi k}{w_2} x \frac{\sin k_{z2k} (L - z)}{k_{z2k} \cos k_{z2k} l_2}, \quad |x| \leq w_2/2, \quad l_1 \leq z \leq L.$$

$$k_{zik}^2 = \chi_{hq}^2 - \left(\frac{2\pi k}{w_i} \right)^2, \quad i = 1, 2.$$

Условия непрерывности функции $J_{h,q}$ на границе частичных областей имеют вид:

$$J_{h2}(x, l_1) = J_{h1}(x, l_1), \quad |x| \leq w_1/2,$$

$$\frac{dJ_{h2}(x, l_1)}{dz} = \begin{cases} \frac{dJ_{h1}(x, l_1)}{dz}, & |x| \leq w_1/2, \\ 0, & w_1/2 \leq x \leq w_2/2 \end{cases}, \quad |x| \leq w_1/2,$$

откуда получаются два однородных уравнения для коэффициентов разложения:

$$\sum_{k=0} A_{1k} \sqrt{\frac{2-\delta_{k0}}{w_1/2}} \cos \frac{2\pi k}{w_1} x = - \sum_{n=0} A_{2n} \sqrt{\frac{2-\delta_{n0}}{w_2/2}} \cos \frac{2\pi n}{w_2} x,$$

$$A_{2k} = - \sum_{m=0} A_{1m} S_{km},$$

где

$$S_{kn} = \sqrt{\frac{2-\delta_{n0}}{w_1/2}} \sqrt{\frac{2-\delta_{k0}}{w_2/2}} \cos \pi n \sin \frac{\pi k w_1}{w_2} \frac{2\pi k/w_2}{(2\pi k/w_2)^2 - (2\pi n/w_1)^2}.$$

Далее

$$\sum_{k=0} A_{2k} \sqrt{\frac{2-\delta_{k0}}{w_2/2}} \cos \frac{2\pi k}{w_2} x \frac{\tan k_{z2k} l_2}{k_{z2k}} = \sum_{n=0} A_{1n} \sqrt{\frac{2-\delta_{n0}}{w_1/2}} \cos \frac{2\pi n}{w_1} x \frac{\tan k_{z1n} l_1}{k_{z1n}},$$

$$A_{1n} \frac{\tan k_{z1n} l_1}{k_{z1n}} = \sum_{k=0} A_{2k} \frac{\tan k_{z2k} l_2}{k_{z2k}} S_{kn}.$$

В итоге получается трансцендентное уравнение для расчета собственных чисел $\chi_{h,q}^2$:

$$\sum_{m=0} A_{1m} \left[\frac{\tan k_{z1m} l_1}{k_{z1m}} \delta_{mn} + \sum_{k=0} \frac{\tan k_{z2k} l_2}{k_{z2k}} S_{km} S_{kn} \right] = 0.$$

Для электрического векторного потенциала $J_e(x, z)$ строятся аналогичные решения с разложением функции в ряды Фурье в частных областях с граничными условиями:

$$J_{ei}(\pm w_i/2, z) = 0, i = 1, 2, \quad J_{ei}(0, z) = 0, i = 1, 2, \quad \frac{d}{dz} J_{e1}(x, 0) = 0, \quad \frac{d}{dz} J_{e2}(x, L) = 0.$$

$$J_{e1}(x, z) = \sum_{k=1} A_{1k} \frac{2}{\sqrt{w_1}} \sin \frac{2\pi k}{w_1} x \frac{\cos k_{z1k} z}{\cos k_{z1k} l_1}, \quad |x| \leq w_1/2, \quad 0 \leq z \leq l_1.$$

$$J_{e2}(x, z) = \sum_{k=1} A_{2k} \frac{2}{\sqrt{w_2}} \sin \frac{2\pi k}{w_2} x \frac{\cos k_{z2k} (L-z)}{\cos k_{z2k} l_2}, \quad |x| \leq w_2/2, \quad l_1 \leq z \leq L.$$

Из уравнений непрерывности на границе частных областей выводится уравнение для собственных чисел $\chi_{e,q}^2$ электрического потенциала:

$$\sum_{m=1} A_{1m} \left[k_{z1m} \tan k_{z1m} l_1 \cdot \delta_{nm} + \sum_{k=1} k_{z2k} \tan k_{z2k} l_2 \cdot S_{km} S_{kn} \right] = 0,$$

где

$$S_{kn} = \frac{4}{\sqrt{w_1 w_2}} \cos \pi n \sin \frac{\pi k w_1}{w_2} \frac{2\pi n/w_1}{(2\pi k/w_2)^2 - (2\pi n/w_1)^2},$$

и

$$A_{2k} = \sum_{m=1} A_{1m} S_{km}.$$

Аналогично решаются краевые задачи для векторных потенциалов плотности тока «магнитной» краевой задачи (с условием магнитной стенки на продольных границах).

Донецкий национальный университет (г. Винница)

Поступила в редколлегию 23.09.2016